

神戸大学 工学部 正員 西村 昭
長大橋設計センター 正員 ○朴 梁秀

1. まえがき 一般に、構造物の設計に際しては、不可避の不確定要素に対応するため、いわゆる安全率が導入される。その際、大きく分けて次の二つの方法がある。すなわち、

$$\textcircled{1} \text{ 材料安全率} = \frac{\text{基準強度(降伏応力など)}}{\text{許容応力度}}$$

$$\textcircled{2} \text{ 荷重係数} = \frac{\text{限界状態荷重(あるいは最大塑性強度)}}{\text{設計荷重}}$$

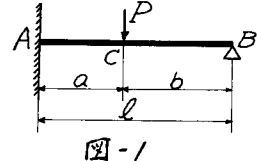


図-1

①は許容応力度設計法に用いられ、②は終局強度設計法に用いられるものである。

これらの設計法は、その根底をなす思想が全く異なるが、いずれも実荷重を受けた場合の安全性を確保しようとする点は共通する。その意味から、両安全率間の相関性を明らかにしておく必要がある。ことに、①の材料安全率は、永年にわたる経験の裏付けを有するものであり、少なくとも現在までに設計されてきた構造物の安全性を確保してきた事実は重視してよい重みを有するものである。

そこで、本研究においては、両者間の相関性を破壊確率を通じて明らかにするため、図-1ののような梁について基礎的研究を行なったものである。本研究では、後述のように最終的な崩壊状態のみを対象とするだけではなく、それに至るまでの各段階を順次取り上げた。

2. 強度および荷重の確率分布 考えうる不確定要素のうち、強度と荷重を確率変数として取り上げる。構造材料として鋼材M41(降伏応力度の平均値 $E(R) = 2.866 \text{ kg/cm}^2$ 、標準偏差の $\sigma(R) = 322.6 \text{ kg/cm}^2$)を考え、荷重に対する正規分布に従うとした。また、応力-ひずみ曲線は図-2を仮定した。

次に、荷重は図-1のよう一点載荷の集中荷重とし、載荷位置は不動と考え、Xの大きさには交通車両輪荷重の実測結果(平均値 $E(S) = 3.114 \text{ kN}$ 、標準偏差の $\sigma(S) = 1.757 \text{ kN}$)をもとに対数正規分布に従うとした。また、設計荷重 P^* としては、 $P_n = E(S) + n \cdot 0.95S$ を考え、 $n = 1, 2, 3$ の3つの場合を考えた。

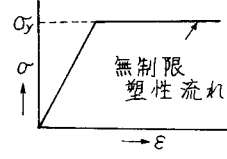


図-2

3. 崩壊形式と破壊確率 図-1でA点の曲げモーメントとC点のせん断力を、A点の方が大きい場合を考えることとし、図-1において $l = 10.0 \text{ m}$, $a = b = 5.0 \text{ m}$ を用いた。すなわち、A点、C点の順で塑性ヒンジが生じ最終的に崩壊すると考えた。その際、終局強度設計法では図-1の通りにA点に塑性ヒンジが生じ、モーメントの再配分が起つた後、最終的にC点が終局状態に達することを設計基準と考えるが、ここでは、その前の段階として図-1の通りにおいて、モーメントの再配分までを考慮せずA点が終局状態に達することを基準に考えたものを導入し、Xを基準とする設計法を便宜上、準終局強度設計法とすることにし、Xの安全率をα、前述の普通の終局強度設計法における安全率をβとする。また、許容応力度設計法では、図-1の通りにおいてA点が降伏状態に達することを基準に材料安全率を導入するものとし、Xの安全率をγとする。

また、破壊確率を広義に解釈し、段階的に生ずる降伏状態あるいは終局状態に対してA点が降伏状態をこえる確率、次いで終局状態をこえる確率、さらにモーメントの再配分が起つた後にC点が降伏状態をこえる確率、次いで終局状態をこえる確率を考えた。それと同時に、工梁のそれぞれの状態に対する中央安全率(Central Safety Factor)も考えた。

以上の二つの各段階の破壊確率、および中央安全率を表わすのに、それぞれ $P_f \cdot K_1 K_2 K_3$ および $F K_1 K_2 K_3$

を用いる。添字 K_1 , K_2 , K_3 の位置には、考へている各段階に応じて次のような記号を当てはめるものとする。すなへど、 K_1 の位置には、降伏状態には y 、終局状態には u ； K_2 の位置には、準規する設計法に用いられる安全率、すなへど、前述の ν , α , β のいずれかが入る。また K_3 の位置には、注目している点 A あるいは C を記入し、C の場合であれば、上述のように A 点で塑性ヒンジが生じた後の C 点を意味することになる。

4. 結果と考察 図-3 は設計荷重 $P^* = P_1 (= EGS + 1.07S)$, $\nu = 1.70$, $f = 1.50$ (矩形断面の形状係数) としたときの A 点について、 α/ν に対する $P_f \cdot y_{0A}/P_f \cdot y_{uA}$ および $P_f \cdot u_{0A}/P_f \cdot u_{uA}$ 、さらに α/ν に対する F_{yA}/F_{yUA} および F_{uA}/F_{uUA} を示したものである。この図によると、 ν は A 点の降伏状態を基準に考へた安全率であり、 α は A 点の終局状態を基準に考へた値であるため、 α/ν が材料の形状係数 f に等しいとき、中央安全率の比と破壊確率の比は共に 1.0 になる。しかしながら、 α/ν の変化に対する中央安全率の比は直線的に変化するのに對し、 α/ν の変化に対する破壊確率の比は片対数グラフ上では直線に近いくことから、指數的に変化している。さらに α/ν に對し、 F_{yA}/F_{yUA} と F_{uA}/F_{uUA} は全く等しく変化するのに對し、 $P_f \cdot y_{0A}/P_f \cdot y_{uA}$ に比べ $P_f \cdot u_{0A}/P_f \cdot u_{uA}$ の方が変化の仕方が大きい。

次に、図-4 は上記と同じ $P^* = P_1$, $\nu = 1.70$, $f = 1.50$ と C 点について β/ν に対する $P_f \cdot y_{0C}/P_f \cdot y_{uC}$, $P_f \cdot u_{0C}/P_f \cdot u_{uC}$ および F_{yC}/F_{yUC} , F_{uC}/F_{uUC} を示したものである。これも図-3 と同じく安全率の比の変化に對し、中央安全率の比は直線的に変化するが、破壊確率の比は指數的に変化する。しかし仔細に、これは許容応力度設計とエーメントの再配分が起るところと期待した普通一般の終局強度設計との比較であるため、明らかに β/ν が形状係数 f に等しいときに中央安全率の比、破壊確率の比は共に 1.0 にはならず、1.0 に近づくのは β/ν が f より也又 ν が大きくなるにあつてである。これらが示すように、終局強度設計法の安全率(荷重係数)は許容応力度設計法の安全率(材料安全率)を参考に形状係数を考慮に入れて選定するところである。

例えば、図-5 は $P^* = P_1$, $\nu = 1.70$ として、 $f_1 = 1.50$, $f_2 = 1.14$ (I 形断面の形状係数の平均値) の各場合に、A 点に對する β/ν に對する中央安全率の比および破壊確率の比を示したものである。

次に、紙面の都合上、図は省くが安全率の比、すなへど α/ν のみに β/ν の変化に對し、中央安全率の比の変化は ν の値によらずないが、破壊確率の比の変化は ν の値によって異なり、 ν が大きいものほど傾斜はより急となる。さらに、設計荷重として P^* を大きくとったものほど、破壊確率の比の変化はより急となるが中央安全率の比の変化は P^* の値によらない。

しかしながら、以上は荷重、強度の分布形として対数正規分布を用いたが、これらは用いる分布形によつても異なる。例えば、荷重、強度の分布形として其に正規分布を用いた場合であれば、

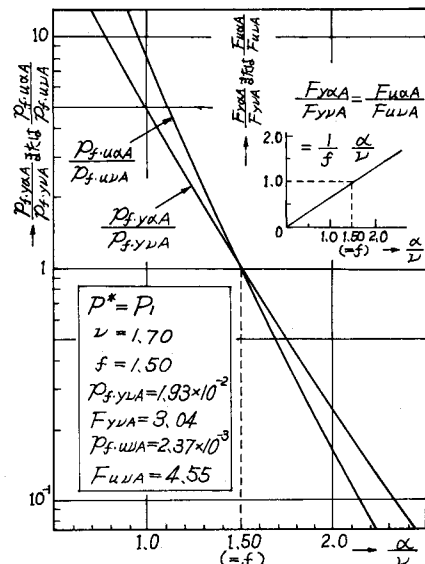


図-3

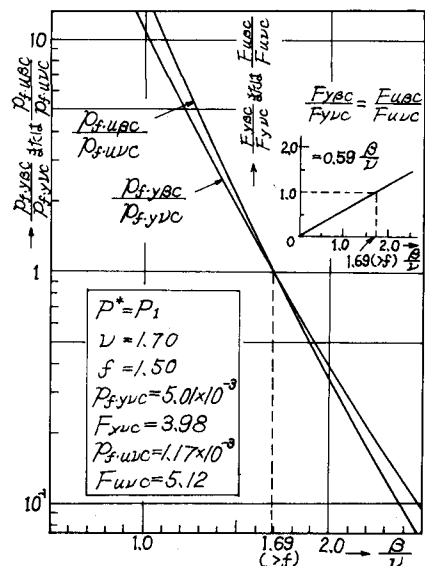


図-4

安全率の比の変化に対し、中央安全率の比の変化は前述の正規分布を用いた場合と全く同じように変化するが、破壊確率の比の変化は安全率の比の変化に対し、正規分布を用いた場合のうが傾斜はより急なものとなる。

5. 疲労に対する照査 一般に疲労度は、Minerの法則に基づき次式で示される。

$$\int \frac{N_t \times P_f(S)}{N(S)} dS \quad (1)$$

ここで、 N_t は荷重の全繰返し回数であり、 $P_f(S)$ は S の応力振幅の生じる確率、また $N(S)$ は S の応力振幅での破壊繰返し数であり、式(1)が 1.0 に達したときに疲労破壊が起くるものとしている。また、S と $N(S)$ との関係は A, B を定数として

$$S = A \cdot \log_{10} N(S) + B \quad (2)$$

のようになるものとする。

この Miner の法則を適用して異なる設計法から得られる図-1 の梁の疲労破壊の確率の相関性を検討する。簡単のために、強度の確率的変動は考慮せず、また強度は極限強さ $O_B = 4.518 \text{ kg/cm}^2$ (5541 に対する平均値) とする。さらに、断面の緑応力が O_B 古く見えるような荷重が作用すれば、無条件で破壊が起くる試であるが、ここでの疲労度の計算に当っては、1 回/1 回の載荷で疲労破壊を引き起すような荷重と考えて Miner の法則を適用する。

具体的には疲労限度を $f = 450 \text{ kg/cm}^2$ 、また引張り応力として荷重分布に前項の背数正規分布を用い、式(1)において $N_t = 1$ とすると、計算結果は全荷重の割合/回当たりの疲労度の期待値を与えることになる。例えば、 $P^* = P_1$ 、 $\nu = 1.70$ 、 $f = 1.50$ のときに、許容応力度設計法下次の如き断面の A 点の疲労期待値 M_{DA} に対する、前述の準終局強度設計法の様な安全率の下で求められる断面の A 点の疲労期待値 M_{DA} の比 M_{DA}/M_{2A} を、前項までの破壊確率の比と共に図-5 に示した。この図が示すように、安全率の比の変化に対し、疲労期待値の比の変化に破壊確率のそれを上回ることはわからぬ。

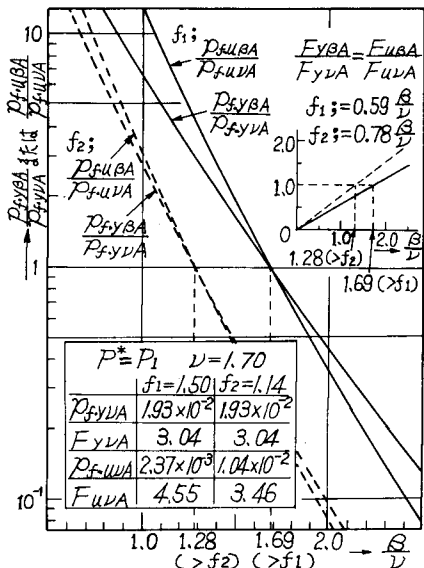


図-5

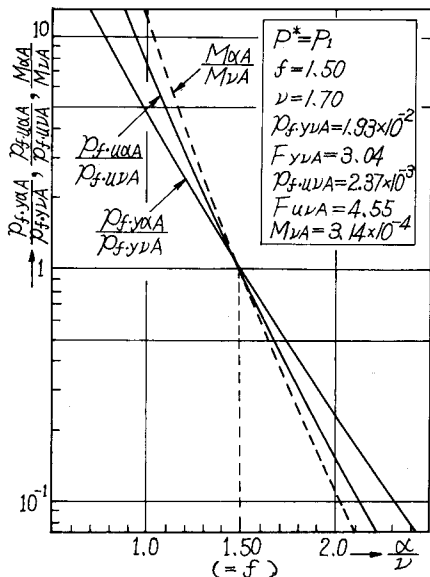


図-6

6. おまけ 単純な梁の場合を例にとって、許容応力度設計法ならびに終局強度設計法による場合の破壊確率に基づいて、それらの設計法の安全率の相関性、および疲労破壊の面からの同相関性の検討を試みた。とくべつ曲げによる破壊状況を考慮した单一の例ではあるが、安全率導入の背景が異なる場合に、いかがわしい安全率と(各段階の)破壊確率との関係を計算によって示したが、その中でとくべつ断面の形状係数が重要な要素として考えらるべきことが示された。これらについては、永年つ許容応力度設計法の経験を、終局強度設計法における荷重係数の選定に際し有効な情報として利用しうるものと思われる。

なお、本文は発表者の修士論文(昭和48年3月)に基づいてまとめたものである。